

## 半導体パッケージとは

パソコンや携帯電話などの機器には、CPUや



半導体パッケージ基板のイメージ 薄型化にともない反りの低減が課題 ジです。半導体素 となっております

MPU、メモリーなど コンピューターの中枢 を担う部品が搭載さ れており、ここに半導 体パッケージ基板が 使用されています。

Fig.2は半導体パ ッケージのイメー

## 高密度化が進む半導体パッケージ基板

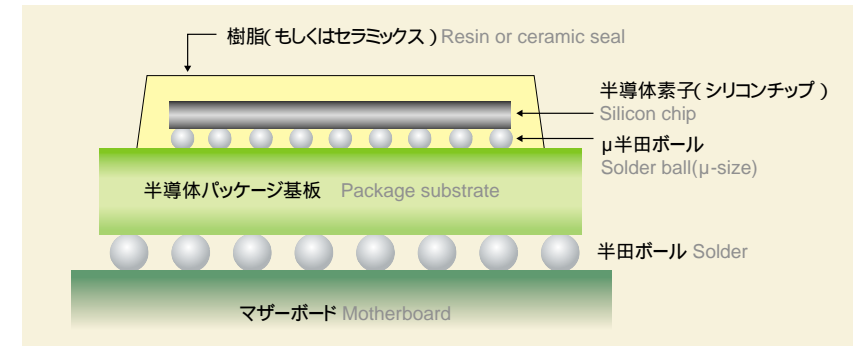
電子機器の軽薄短小化と高性能化に伴い、半導 体パッケージ基板も薄型化、配線ピッチの狭小化 や微細化が進むなど、年々高密度化が加速してい ます。また高密度実装のために、SiP (System in Package ) やPoP(Package on Package)などの3次元 パッケージも登場しています。

# 反りの低減とドリル加工性の向上

パッケージ基板の薄型化が進むと、剛性が不足 する基板材料では、リフロー時の高温で反りが発 生しやすくなり、Fig.3のように、実装不良の発生

> 率が高くなります。こ のため、半導体パッケ ージ用のプリント配線 板材料には、薄くても 高温条件下で剛性を維 持できる性能が求めら れています。また基板 材料と半導体素子との 熱膨張差も、反りの原 因となるため、接続信 頼性を高める重要なポ イントです。



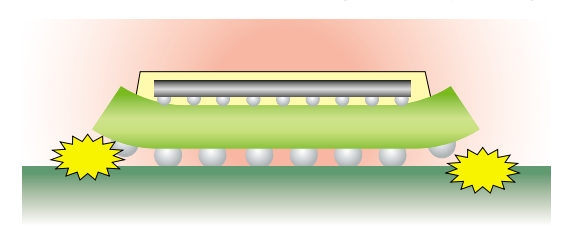


子(いわゆるシリコンチップ)は非常に繊細であ り、目に見えないゴミや水分あるいは光が誤動作 の原因となることもあるため、樹脂あるいはセラ ミックスで覆われています。

また、半導体素子とマザーボードをつなぐイ ンターポーザーの役目を担うパッケージ基板に は、1×1cm程の範囲に直径0.1mm程度の穴が 100個以上も開けられるなど、高度な加工が施さ れています。

Fig.3 リフロー実装時の反りによる接続不良

Defective reflow soldering caused by warpage



さらに、狭ピッチ化に伴う高度なドリル加工性もまた 求められます。

利昌工業ではこの度、高温時での剛性が高く、低熱膨張でかつドリル加工性にも優れる半導体パッケージ用プリント配線板材料 CS-3666X を開発しましたので、ご紹介します。

# CS-3666Xの特長

# (1)剛性…リフロー時の反り特性

Fig.4より、CS-3666Xはこれまでのパッケージ 基板材料に比べ、25 ならびに250 の温度条件 下で、ともに曲げ弾性率が格段に高いことが分か ります。このため、たわみ量も他に比べて小さい

Fig.4 曲げ弾性率 Flexural modulus

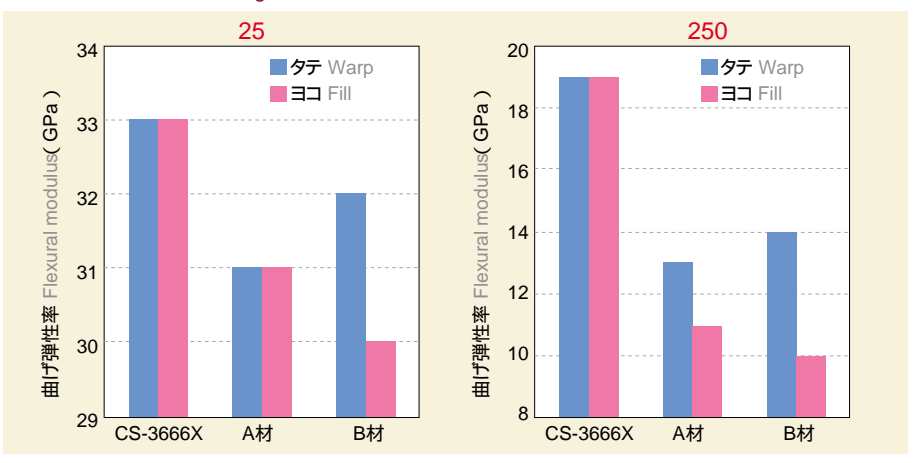


Fig.5 たわみ量 Deflection Size:0.4mm×25mm×330mm

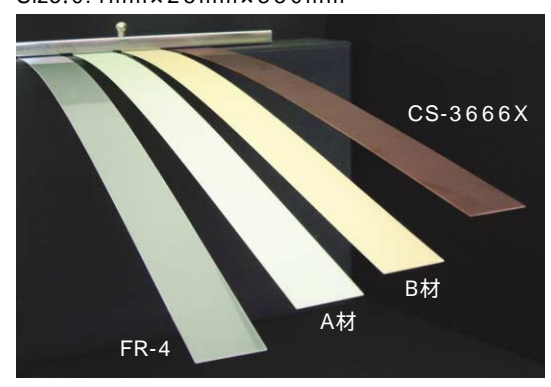
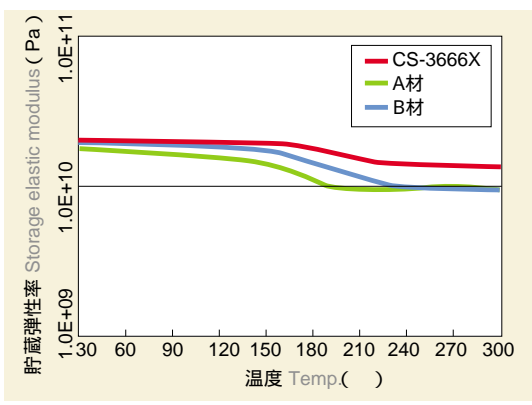


Fig.6 貯蔵弾性率(DMA曲げ) Storage elastic modulus



## 値となっています。(Fig.5)

また、昇温とともに貯蔵弾性率は低下しますが、CS-3666Xは弾性率低下が小さい結果を示しています。(Fig.6)このことから、CS-3666Xはリフロー時の反り低減が期待できる材料であることがわかります。

#### (2)低熱膨張性…半導体素子との熱膨張差

Fig.7、Table 1に熱膨張特性を示します。 CS-3666Xは従来パッケージ基板材料よりも熱

Fig.7 TMA曲線

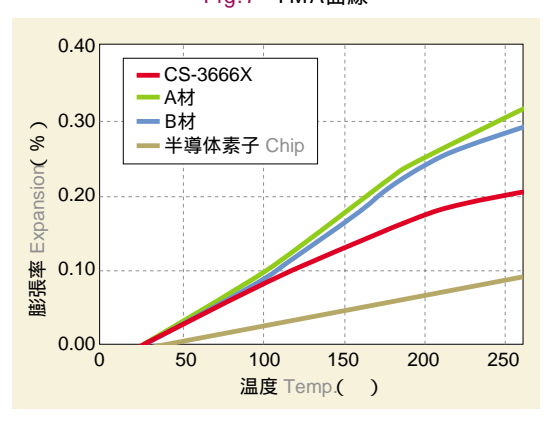


Table 1	熱膨張係数、	熱膨張率
---------	--------	------

項目		単位	CS-3666X	A材	B材	半導体素子 CHIP
熱膨張係数 CTE( X方向 )	1	ppm/	10	13	13	3~4
	2	ppm/	5	10	9	
熱膨張率 Thermal expansion	30 260	%	0.16	0.32	0.29	0.09

膨張量が小さいため、半導体素子との熱膨張差 による反りが小さく、接続信頼性が期待できま す。

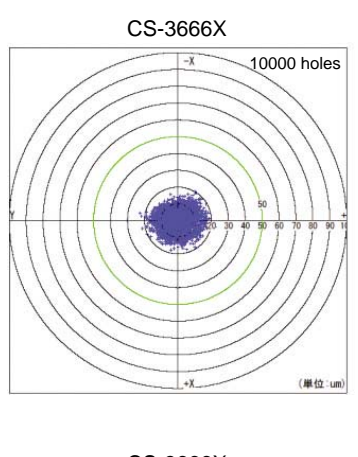
## (3)ドリル加工性

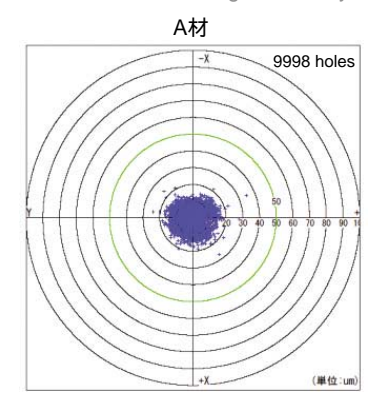
一般にパッケージ基板の弾性率を高めるために

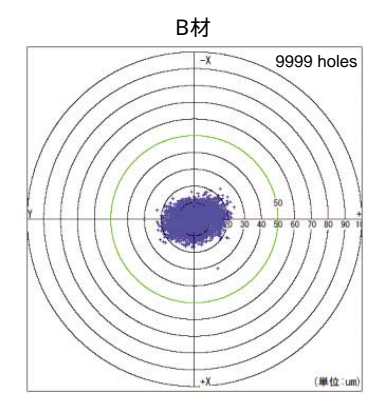
は、シリカ成分の多い特殊ガラス布を基材にした り、樹脂に無機フィラーを高充填するため、これ らがドリルビットの障害となり、加工性の低下が 懸念されますが、CS-3666Xは加工性に優れるE ガラス布を使用し、フィラーも含んでおりませ

Fig.8 ドリル加工性 Drilling workability

穴位置精度 Positioning accuracy







CS-3666X MAX 4.38μm AVE. 3.98μm

MAX 6.26µm

A材

内壁粗度 Wall roughness

B材 MAX 4.80µm

試料厚み Thickness : 0.8t( 18/18 ) 回転数 Revolution : 240 krpm エントリー Entry board: LE800 (三菱ガス化学製)

チップロード Chip load バックアップ Back up board: 1.5mm厚 ベーク板

: 9 µm/rev

1.5mm Paper/Phenolic laminates

AVE. 5.76μm

ドリル径 Bit dia.: 0.15 Shot数 Number of shot : ~ 10000 shot

AVE. 3.46µm

重ね枚数 Stack : 1枚重ね 1 sheet ん。そのため、穴位置精度いわゆる穴加工の位置 ズレは小さく、また内壁粗度も優れております。 (Fig.8)

# (4)狭ピッチ耐マイグレーション性(耐CAF性)

狭ピッチ化が進むにつれ、絶縁信頼性の心配もありますが、ドリル加工性に優れるCS-3666XはFig.9のような過酷な条件化での狭ピッチ耐CAF性に優れます。

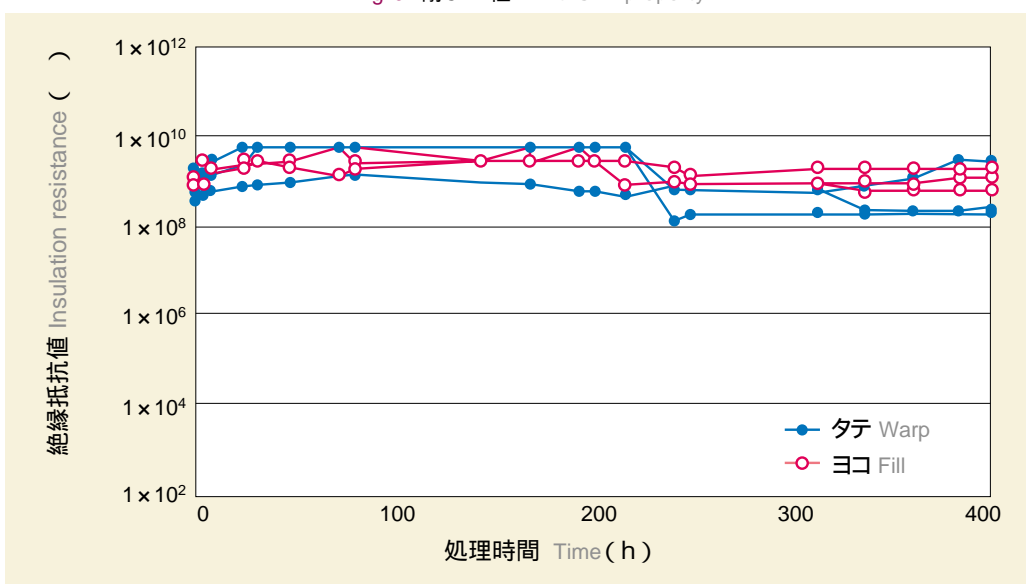
試料厚み Thickness : 0.4t (12/12) ドリル径 Bit dia. : 0.25 壁間 Hole pitch : 0.1mm

試験条件 Treatment : HAST 130 85%RH 400h

印加電圧 Load : DC 5.5V 評価パターン Patern : 15穴×4列

> (ランドレス仕様) 15×4 holes(Landless)





## (5)一般特性

Table 2 に一般特性を示しました。

## まとめ

CS-3666X は、リフロー実装時の反り低減に寄与する材料であり、半導体パッケージ基板のほか、高剛性、低熱膨張性、ドリル加工性、狭ピッチ耐 CAF性の求められる分野での採用を期待しております。

IC package is being thinner increasingly. PWB material for IC package substrate is also becoming thin at the same time. Thin PWB material can not keep stiffness under high temperature Therefore it is serious problem that warpage of thin PWB material under reflow soldering causes defective mounting (Fig.3).

Difference of thermal expansion between semiconductor chip and package substrate also causes the same problem. We have developed PWB material, CS-3666X, which can keep stiffness even under high temperature of reflow soldering(Fig.4/Fig.5/Fig.6).CS-3666X would be also excellent in connection reliability of IC package because it has less thermal expansion than other PWB material(Fig.7/Table1). CS-3666X is made of glass fabric which has excellent workability, and it also contains no filler. CS-3666X is so excellent in drilling workability that it could contribute to improve drill positioning or hole wall roughness.(Fig.8)And its excellent anti- CAF property could be up to fine PWB pattern(Fig.9).

Table.2 一般特性試験結果(0.8mm厚) General properties

Iable.2 一般特性試験結果(0.81 I項目 Test item		単位 Unit	処理条件 Treatment	CS-3666X	A材	B材
	常態		C-96/20/65	3×10 <sup>9</sup>	1 × 10 <sup>9</sup>	4×10 <sup>9</sup>
絶縁抵抗 Insulation resistance	処理後	М	C-96/20/65 +D-2/100	3×10 <sup>8</sup>	8×10 <sup>7</sup>	2 × 10 <sup>9</sup>
<b>体積抵抗率</b> Volume rsistivity	常態	- M m	C-96/20/65	7 × 10 <sup>7</sup>	2×10 <sup>7</sup>	1 × 10 <sup>8</sup>
	処理後		C-96/20/65 +C-96/40/90	7×10 <sup>7</sup>	2×10 <sup>6</sup>	6 × 10 <sup>7</sup>
表面抵抗 Surface resistance	常態	М	C-96/20/65	6×10 <sup>9</sup>	7×10 <sup>8</sup>	3×10 <sup>9</sup>
	処理後	IVI	C-96/20/65 +C-96/40/90	6×10 <sup>9</sup>	4×10 <sup>8</sup>	1 × 10 <sup>9</sup>
比 <b>誘電率</b> Dk	1MHz		C-96/20/65	4.8	4.8	4.1
誘電正接 Df	1MHz		C-96/20/65	0.010	0.015	0.019
<b>半田耐熱性</b> Solder limit	260	秒 sec	А	300<	300<	300<
	288			300<	300<	300<
	300			300<	264	300<
曲げ強さ Bending strength	Warp	- MPa	А	830	530	590
	Fill			730	520	490
曲げ弾性率 Flexural modulus (25 )	Warp		А	33	31	32
	Fill			33	31	30
熱間曲げ弾性率 Hot flexural modulus (250 )	Warp	GPa	200	19	13	14
	Fill			19	11	10
熱膨張係数( X/Y ) CTE		ppm/	1(50 100 )	10/11	13/13	11/13
熱膨張率(X) Thermal expansion		%	30 260	0.16	0.32	0.29
<b>熱膨張係数( Z )</b> CTE		ppm/	1(50 100 )	27	28	33
			2( 200 250 )	110	160	124
熱膨張率(Z) Thermal expansion		%	30 260	1.30	1.80	1.51
吸水率 Water absorption		%	E-24/50 +D-24/23	0.14	0.10	0.16
銅箔引き剥がし強さ(18µm) Peel Strength		kN/m	A	1.6	1.1	1.3
ガラス転移温度 Tg	DMA法		A	220	190	210
	TMA法		A	200	170	180
ポアソン比( 0.4mm厚) Poisson's ratio(0.4mm)		1000N 0.5mm/min R.T.		0.18	0.22	0.21
耐燃性 UL flammability		UL94法		V-0相当	94V-0	94V-0

試験方法はJIS C-6481に基づきます。 A-受理常態、C-恒温恒湿処理、D-浸漬処理、E-加熱処理 数字は時間/温度/湿度をそれぞれ示します。 尚、厚さ並び異なるブリブレグの構成品は、特性に差異があります。 Test method: JIS C-6481 A-Accept state C-Constant Temp. & Hum. D-Dipping E-Heating Time/Temp./Hum.